

ISSN : 1411-1098

Akreditasi Nomor : 602/AU3/P2MI-LIPI/03/2015

Jurnal

Sains Materi Indonesia

Indonesian Journal of Materials Science

Vol. 17, No. 2, Januari 2016

Pusat Sains dan Teknologi Bahan Maju
Badan Tenaga Nuklir Nasional
INDONESIA

Jurnal Sains Materi Indonesia	Vol. 17	No. 2	Hal. 49 - 96	Tangerang Selatan Tahun 2016	ISSN 1411-1098
-------------------------------	---------	-------	--------------	---------------------------------	-------------------

ISSN : 1411-1098

Akreditasi Nomor : 602/AU3/P2MI-LIPI/03/2015

JURNAL SAINS MATERI INDONESIA
Indonesian Journal of Materials Science
Vol. 17, No. 2, Januari 2016

Terbit tiga bulanan : Oktober, Januari, April, Juli

PENANGGUNG JAWAB
MANAGING EDITOR

Kepala Pusat Sains dan Teknologi Bahan Maju - Badan Tenaga Nuklir Nasional

DEWAN REDAKSI
EDITORIAL BOARD

KETUA
EDITOR IN CHIEF

Dr. Abu Khalid Rivai, M.Eng., **BATAN**
(Bahan Reaktor Nuklir, Logam dan Paduannya, Korosi)

WAKIL KETUA
VICE EDITOR IN CHIEF

Teguh Yulius Surya P.P., Ph.D., **BATAN**
(Baterai, Logam, Komposit, *Powder Diffraction-Neutron*)

STAF EDITOR
EDITORIAL STAFF

Dr. Sutaryanto, M.Eng., **BATAN** (Kimia, Polimer)
Dr. Wisnu Ari Aji, M.Si., **BATAN** (Magnetik, Kristalografi)
Dr. Eng. Iwan Sumirat, **BATAN** (Magnet, Hamburan Neutron)
Dr. Salim Mustofa M.Eng., **BATAN** (Lapisan Tipis, Komposit, PVD, Pengelasan Laser, *Carbon Nano Tube*)
Drs. Sudirman, M.Sc., **BATAN** (Kimia, Polimer, *Fuel Cell*)
Dr. Eng. Asep Ridwan Setiawan, **ITB** (Korosi, Elektrokimia, *Coating, Solid State Ionic*)
Dr. Mochamad Chalid, M.Sc., **UI** (*Polymer Engineering*)
Mohammad Badaruddin, Ph.D., **UNILA** (Logam dan Paduannya, *Aluminizing Coating, Korosi Temperatur Tinggi, Analisis Kegagalan*)
Dr. Jarot Raharjo, **BPPT** (Keramik, *Solid Oxide Fuel Cell, Nano Material*)
Dr. Eng. Farid Triawan, **Tokyo Institute of Technology - JAPAN** (*Materials Mechanics, Cellular Materials, Cavitation Erosion*)

MITRA BESTARI
PEER REVIEWER

Dr. Ir. Mardiyanto, M.Sc., **BATAN** (Ferroelektrik, Material Energi, Instrumentasi)
Dr. Marzuki Silalahi, MT., **BATAN** (Logam dan Paduannya, Teknologi Serbuk, Teknologi Pemaduan dengan Ultrasonik, Material Energi)
Dr. Adel Fisli, M.Si., **BATAN** (Kimia Organik, Kimia Anorganik, Fotokatalis, Magnetik)
Dr. Ir. Myrtha Karina Sancovorini, M.Agr, **LIPI** (Biokomposit)
Dr. Yose Fachmi Buys, **IUM - MALAYSIA** (*Polymeric Materials, Polymer Blends and Composites, Organic Chemistry*)
Dr. Eng. Agus Haryono, **LIPI** (Kimia, Polimer, *Nanochemistry*)
Dr. Yenny Meliana, **LIPI** (Kimia, Polimer)

REDAKTUR PELAKSANA
EXECUTIVE EDITORIAL

Aswan Edysyah Putra, S.IP., Rd. Nenny Gunawati, Dra. Mirah Yulaili,
Dra. Rina Ramayanti, Yatno

Penerbit : Pusat Sains dan Teknologi Bahan Maju, **BATAN**
Terbit Pertama Kali : Oktober 1999

Alamat Redaksi/Editorial Address : PSTBM - **BATAN**, Gedung 43, Kawasan Puspiptek Serpong 15314, Tangerang Selatan
Telepon : (021) 75874261, 7562860 Ext. 4009 - 4010, Fax : (021) 7560926
e-mail : jusami@batan.go.id, Website : <http://jusami.batan.go.id>



SINTESIS SILIKA METODE SOL-GEL SEBAGAI PENYANGGA FOTOKATALIS TiO_2 TERHADAP PENURUNAN KADAR KROMIUM DAN BESI

Diana Rakhmawaty Eddy*, Atiek Rostika Noviyanti dan Dini Janati

Departemen Kimia, FMKA, Universitas Padjadjaran
Jl. Raya Bandung-Sumedang km 21 Jatinangor 45363, Indonesia
*E-mail: diana.rahmawati@unpad.ac.id

Diterima: 03 September 2015 Diperbaiki: 27 November 2015 Disetujui: 07 Januari 2016

ABSTRAK

SINTESIS SILIKA METODE SOL-GEL SEBAGAI PENYANGGA FOTOKATALIS TiO_2 TERHADAP PENURUNAN KADAR KROMIUM DAN BESI. Silika merupakan material yang menarik perhatian para peneliti karena aplikasinya yang luas dan pembuatannya yang mudah. Salah satu metode pembuatan silika adalah metode sol-gel. Silika yang dihasilkan bersifat amorf dengan densitas yang rendah sehingga dapat digunakan sebagai penyangga fotokatalis. Penelitian ini bertujuan untuk membuat fotokatalis TiO_2 - SiO_2 untuk menurunkan kadar logam kromium dan besi dalam air. Tahapan penelitian adalah sintesis silika dengan variasi konsentrasi amonia dan suhu kalsinasi, immobilisasi TiO_2 pada SiO_2 , dan uji fotokatalisis TiO_2 - SiO_2 terhadap kadar logam kromium dan besi dari air Sungai Cikijing. Untuk mengetahui gugus fungsi, morfologi, bentuk kristal, komposisi TiO_2 dalam fotokatalis TiO_2 - SiO_2 , dan kadar logam dilakukan analisis dengan menggunakan *Fourier Transform - Infra Red (FT-IR)*, *Scanning Electron Microscope (SEM-EDX)*, *X-Ray Diffractometry (XRD)*, dan *Atomic Absorption Spectroscopy (AAS)*. Dalam penelitian ini, jumlah konsentrasi amonia dan suhu kalsinasi divariasikan yaitu: 12,5% dan 25% dengan suhu kalsinasi 400°C, 500°C, dan 600°C. Hasil analisis *FT-IR* menunjukkan bahwa puncak silika muncul pada bilangan gelombang 3447 cm^{-1} (regang -OH), 1638 cm^{-1} (regang Si-O) dan 1107 cm^{-1} (regang Si-O-Si). Hasil pengukuran TiO_2 - SiO_2 10% dengan *XRD* menunjukkan

penggerus, neraca analitis, oven untuk menghilangkan pelarut, sonikator (Elma-Ultrasonic LC 30H) untuk menyintesis silika, tanur untuk kalsinasi. *Atomic Absorption Spectrophotometer* (AAS, Perkin Elmer AAAnalyst 400) untuk menguji kadar logam, *Scanning Electron Microscope Energy Dispersive X-Ray Spectroscopy* (SEM-EDX, JEOL JSM-6360 LA) untuk mengetahui morfologi dan komposisi fotokatalis, dan *X-Ray Diffraction* (XRD, PANalytical X'Pert PRO PW3040/x0) untuk mengetahui bentuk kristal.

Cara Kerja

Pembuatan Silika

Sebanyak 5 mL TOES (tetraetilortosilikat) dilarutkan dengan 30 mL etanol p.a. dalam gelas kimia di atas sonikator dengan frekuensi 35 kHz pada suhu ruang selama 10 menit. Kemudian, akuades ditambahkan sebanyak 1 mL dengan kecepatan 0,02 mL/menit, disonikasi hingga 1,5 jam. Selanjutnya ditambahkan amonia sebanyak 2 mL dengan konsentrasi yang berbeda, pada gelas kimia pertama dengan amonia 25% dan gelas kimia lainnya dengan amonia 12,5% dengan kecepatan yang sama yaitu 0,01 mL/menit agar dinamika pertumbuhan gel dapat diamati. Sonikasi dilanjutkan selama 3 jam hingga gelatin terbentuk. Pematangan (*aging*) dilakukan dengan menyimpan gelatin selama 1 jam. Kemudian gelatin dicuci dengan akuades dan etanol melalui penyaringan dengan corong *buchner*. Gelatin yang telah dicuci dikeringkan dalam oven pada suhu 70 °C selama 24 jam. Setelah kering, sampel digerus untuk memperhalus permukaan serbuk dan dilakukan kalsinasi masing-masing pada suhu 400 °C, 500 °C, dan 600 °C. Serbuk silika dikarakterisasi dengan XRD untuk mengetahui pola difraksi kristalin dan SEM untuk mengetahui morfologi partikel.

Pembuatan Fotokatalis TiO₂-SiO₂

Fotokatalis TiO₂-SiO₂ dibuat dengan imobilisasi TiO₂ pada SiO₂ dengan variasi konsentrasi yaitu 2,5% b/b, 5% b/b, dan 10% b/b dengan jumlah total masing-masing fotokatalis TiO₂ dan SiO₂ sebesar 0,7 g. Prosedur yang dilakukan dengan mencampurkan TiO₂ dengan *aquadest* menggunakan sonikator selama 20 menit agar TiO₂ dapat terdispersi dalam akuades secara sempurna. Kemudian ditambahkan SiO₂ dan disonikasi kembali selama 20 menit agar SiO₂ terdispersi dalam campuran TiO₂-*aquadest*. Larutan campuran TiO₂-SiO₂ dipanaskan di atas *hot plate* hingga terbentuk pasta. Selanjutnya, padatan yang diperoleh dikeringkan dalam oven pada suhu 100 °C selama 2 jam. Hal ini dilakukan untuk menghilangkan air agar TiO₂ dapat terimobilisasi dengan baik pada SiO₂. Kemudian dikalsinasi pada suhu 500 °C selama 5 jam untuk memperkuat imobilisasi TiO₂ pada SiO₂. Sampel dikarakterisasi dengan XRD dan SEM-EDX.

Uji Fotokatalisis

Pada uji fotokatalisis digunakan air limbah Sungai Cikijing Rancaekek yang terlebih dahulu dianalisis kandungan logamnya. Analisis Cr, Cu, Zn, Pb dan Fe untuk sampel air sungai dilakukan dengan metode pemekatan sampel dengan asam nitrat pekat (HNO₃). Sebanyak 1 mL HNO₃ dimasukkan ke dalam labu ukur 25 mL yang telah diisi sampel air sungai setengahnya kemudian tambahkan air sungai hingga tanda batas. Konsentrasi logam dianalisis menggunakan AAS.

Uji fotokatalisis dilakukan dengan menggunakan lampu merkuri 125 W. Air limbah sungai sebanyak 50 mL dimasukkan ke dalam tabung kuarsa kemudian ditambahkan 50 mg fotokatalis dan diiradiasi dengan lampu merkuri selama 4 jam, kemudian diambil filtratnya setiap 1 jam untuk dianalisis menggunakan AAS. Uji aktivitas fotokatalis dilakukan terhadap semua konsentrasi fotokatalis TiO₂-SiO₂. Prosedur yang sama dilakukan terhadap TiO₂ dan SiO₂ saja.

HASIL DAN PEMBAHASAN

Pembuatan Silika

TOES (tetraetilortosilikat) dilarutkan dengan etanol karena TEOS bersifat non polar sehingga dapat terlarut dengan mudah dalam etanol yang bersifat semipolar dan tidak dapat terlarut dalam air. Kemudian disonikasi dengan frekuensi 35 kHz pada suhu ruang selama 10 menit. Hal ini dilakukan agar TEOS terlarut secara homogen dalam etanol. Apabila TEOS terlarut secara homogen dalam etanol maka akan memudahkan akses antara TEOS dan air pada reaksi hidrolisis. Selain itu, etanol sebagai agen yang membantu *interface* untuk membentuk kontak yang efektif antara TEOS dengan air.

TEOS akan terhidrolisis seiring ditambakkannya akuades dengan kecepatan 0,02 mL/menit agar reaksi hidrolisis dapat diamati. Penambahan amonia dengan konsentrasi berbeda dilakukan setelah sonikasi hingga 1,5 jam. Kecepatan penambahan amonia yaitu 0,01 mL/menit agar dinamika pertumbuhan gel dapat diamati.

Kecepatan penambahan amonia sangat berpengaruh terhadap ukuran partikel yang dihasilkan. Semakin cepat penambahan amonia maka semakin besar ukuran partikel karena semakin banyak kehadiran amonia pada larutan akan mempercepat berlangsungnya reaksi hidrolisis dan reaksi kondensasi. Dengan demikian, penambahan amonia dilakukan secara perlahan dengan kecepatan 0,02 mL/menit. Hal ini berdasarkan penelitian Jafarzadeh et al. telah melakukan penambahan amonia dengan kecepatan yang berbeda yaitu 0,01 mL/menit, 0,02 mL/menit, dan 0,03 mL/menit yang menghasilkan ukuran partikel 10,6 ± 1,4 nm, 11,4 ± 1,7 nm, dan 15,0 ± 1,6 nm.

Perbedaan konsentrasi amonia yang digunakan juga berpengaruh pada kecepatan reaksi hidrolisis dan kondensasi. Gel lebih cepat terbentuk dengan penambahan amonia 25% dibandingkan dengan penambahan amonia 12.5%. Pada proses sintesis, penambahan amonia 25% mulai membentuk gel lebih cepat 10 menit dibandingkan dengan penambahan amonia 12.5%. Kemudian sonikasi dilanjutkan hingga gel terbentuk seluruhnya. Sebagaimana yang telah dilakukan oleh Ibrahim et al. [8] dengan variasi konsentrasi amonia dari 0,11 M sampai 0,3 M menunjukkan ketika konsentrasi amonia meningkat maka reaksi hidrolisis dan kondensasi pun lebih cepat. Hasil antara $[Si(OC_2H_5)_4x(OH)_y]$ akan meningkat secara cepat disebabkan tingginya reaksi hidrolisis yang berlangsung. Dengan demikian, kondisi jenuh dicapai dengan cepat sehingga produk intermediet mengalami reaksi kondensasi dengan cepat. Karena cepatnya reaksi tersebut berlangsung maka kemungkinan periode nukleasi terjadi secara singkat. Akibatnya, jumlah inti kristal yang terbentuk akan lebih sedikit dan ukuran partikel silika yang diperoleh relatif lebih besar [8].

Gelatin yang terbentuk adalah hasil dari reaksi kondensasi. Semakin lama, gelatin semakin kaku sehingga membentuk agar-agar. Agar gelatin lebih stabil dan reaksi kondensasi tidak berlangsung lagi maka dilakukan pematangan dengan menyimpan gelatin selama 1 jam.

Proses kalsinasi dilakukan agar silika yang dihasilkan lebih stabil dan membentuk amorf. Setelah proses kalsinasi, dapat diamati bahwa silika yang dihasilkan dengan suhu kalsinasi 400 °C, 500 °C dan 600 °C menunjukkan warna yang berbeda. Silika yang dihasilkan dengan suhu kalsinasi 600 °C adalah serbuk silika putih jernih sedangkan silika yang dihasilkan dengan suhu kalsinasi 400 °C dan 500 °C menghasilkan serbuk putih pucat.

Silika hasil sintesis dianalisis menggunakan spektrofotometri inframerah (*FT-IR*), untuk mengetahui gugus fungsi yang terkandung di dalam silika. Hasil *FT-IR* silika ditunjukkan pada Gambar 1.

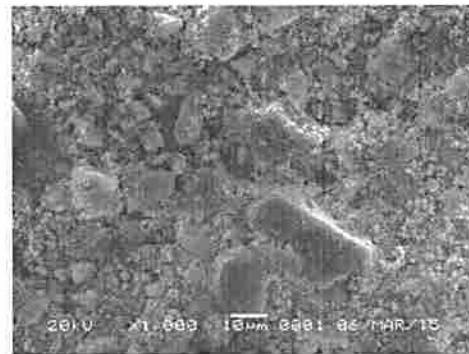
Berdasarkan Gambar 1 dan data Tabel 1, menunjukkan bahwa tidak ada pergeseran yang signifikan pada setiap puncak berdasarkan referensi

Table 1. Data hasil spektrum *FT-IR* standar dan hasil penelitian [2].

Gugus Fungsi	Referensi	Bilangan Gelombang / cm^{-1}		
		silika (amonia 25%, 400°C)	Silika (amonia 25%, 600°C)	silika (amonia 12,5%, 600°C)
Vibrasi ulur -OH dari =Si-OH	3200 - 3600	3447,2	3447,2	3460,1
Vibrasi ulur =Si-O dari =Si-OH	1630	1637,9	1638	1633,9
Vibrasi ulur asimetris =Si-O dari =Si-O-Si=	1088	1102,9	1107,4	1103,9
Vibrasi tekuk =Si-O dari =Si-O-Si=	460	473,1	472,3	472,4

sehingga dapat disimpulkan bahwa padatan putih yang dihasilkan adalah silika

Untuk mengetahui morfologi dan bentuk kristal silika maka dilakukan analisis *SEM* dan *XRD*. Morfologi silika dengan analisis *SEM* dapat dilihat pada Gambar 2.

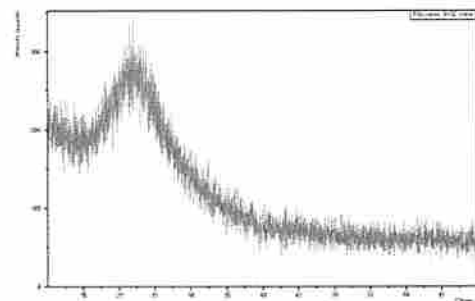


Gambar 2. Mikrograf SiO_2 perbesaran 1.000 kali.

Gambar 2 menunjukkan morfologi permukaan silika. Morfologi permukaan silika tersusun atas agregat-agregat yang besar. Hal ini terjadi karena dipengaruhi oleh proses pengeringan. Pada proses pengeringan menggunakan oven, molekul air dilepaskan secara konstan. Pelepasan air tersebut disebabkan konsentrasi sol meningkat dan terjadi penarikan fluida sehingga partikel saling



Gambar 1. Spektrum *FT-IR* silika.



Gambar 3. Difraktogram SiO_2 .

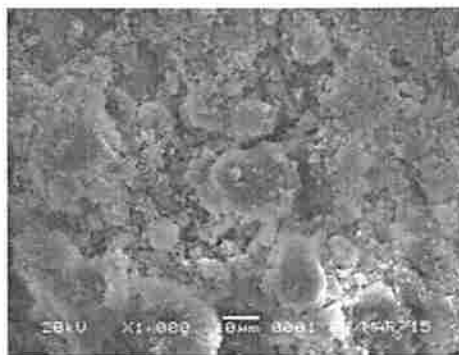
berdekatan. Dengan berdekatnya partikel maka akan membentuk agregat yang besar [6]. Dengan besarnya aglomerasi yang terjadi maka ukuran partikel sulit untuk diukur dari Gambar 2 pada perbesaran 1000kali.

Untuk mengetahui struktur fasa silika yang terbentuk dilakukan pengukuran *XRD*. Spektrum hasil pengukuran *XRD* dapat dilihat pada Gambar 3. Dari Gambar 3, diketahui bahwa struktur fasa SiO_2 berbentuk amorf, dimana muncul puncak pada $2\theta = 23.86^\circ$ yang tidak tajam.

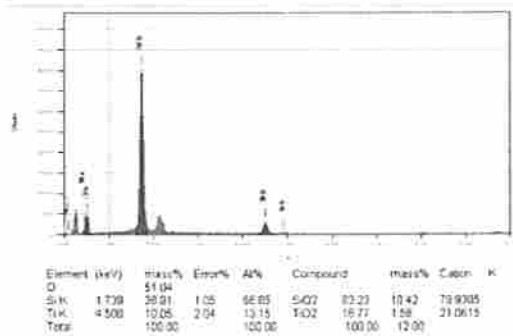
Pembuatan Fotokatalis $\text{TiO}_2\text{-SiO}_2$

Fotokatalis $\text{TiO}_2\text{-SiO}_2$ telah dibuat dengan variasi konsentrasi yaitu 2,5%, 5%, dan 10% berat TiO_2 terhadap berat total $\text{TiO}_2\text{-SiO}_2$, masing-masing variasi sebanyak 0,7 g. SiO_2 yang digunakan adalah SiO_2 hasil sintesis variasi amonia 12,5% dan 25%. Jadi, total variabel diperoleh enam variasi fotokatalis.

Untuk mengetahui keberhasilan proses imobilisasi bahwa TiO_2 telah terimobilisasi dengan baik pada SiO_2 maka dilakukan analisis *SEM* dan *XRD*. Fotokatalis yang digunakan untuk analisis *SEM* dan *XRD* adalah fotokatalis $\text{TiO}_2\text{-SiO}_2$ variasi 10% b/b dengan SiO_2 yang disintesis menggunakan amonia 25%. Bahan ini digunakan karena menunjukkan hasil uji fotokatalisis yang terbaik dalam menurunkan kadar logam Cr dan Fe dalam limbah air sungai.



Gambar 4. Mikrograf $\text{TiO}_2\text{-SiO}_2$ 10%.

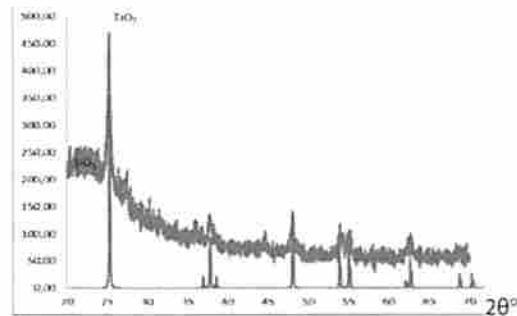


Gambar 5. Hasil *EDX* fotokatalis $\text{TiO}_2\text{-SiO}_2$ 10%.

Hasil analisis *SEM* yang ditunjukkan pada Gambar 4, memperlihatkan SiO_2 dan TiO_2 yang membentuk agregat-agregat yang saling bertumpukan sehingga keberadaan TiO_2 tidak dapat diamati dengan jelas. Hal ini disebabkan karena proses pengeringan dalam oven, terjadi pelepasan air yang disebabkan konsentrasi sol meningkat dan terjadi penarikan fluida sehingga partikel saling berdekatan dan mengakibatkan terbentuknya agregat yang besar [6].

Bahan yang dibuat dilakukan juga analisis *EDX* untuk mengetahui komposisi SiO_2 dan TiO_2 seperti yang diperlihatkan pada Gambar 5. Pada Gambar 5 menunjukkan komposisi TiO_2 mendekati dengan hasil perhitungan secara teoritis. Pada sintesis dibuat komposisi TiO_2 sebesar 10% massa. Sementara, hasil analisis *EDX* menunjukkan komposisi TiO_2 yang sebenarnya sebesar 10,05% massa.

Analisis struktur fasa fotokatalis adalah dengan menggunakan *XRD*. Difraktogram *XRD* juga dapat menunjukkan adanya TiO_2 yang sudah tersangga pada SiO_2 . Hasil karakterisasi fotokatalis dengan *XRD* dapat dilihat pada Gambar 6.



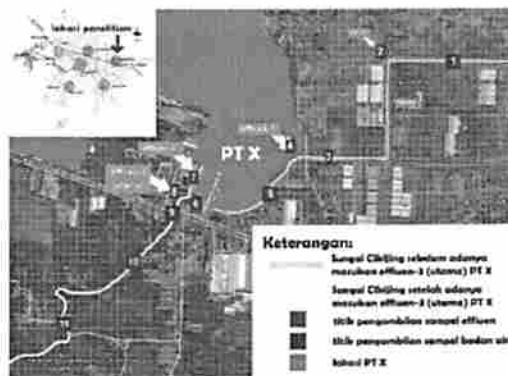
Gambar 6. Difraktogram (a) $\text{TiO}_2\text{-SiO}_2$ 10% dan (b) TiO_2 [8].

Gambar 6. Hasil pengukuran *XRD* fotokatalis $\text{TiO}_2\text{-SiO}_2$ menunjukkan adanya puncak pada $2\theta = 25.26^\circ$ dengan intensitas sangat tinggi, yang karakteristik dengan TiO_2 anatase. Difraktogram TiO_2 ini sesuai dengan penelitian Leinekugel-le-Cocq-Errien et al. tahun 2007[11] menunjukkan kristal anatase pada $2\theta = 25.3^\circ$. Puncak lain muncul tidak tajam pada $2\theta = 23.86^\circ$ dengan intensitas rendah adalah daerah kristal SiO_2 amorf. Dengan adanya difraktogram TiO_2 pada hasil pengukuran sehingga dapat disimpulkan bahwa TiO_2 sudah tersangga pada SiO_2 .

Uji Fotokatalisis

Pada uji fotokatalisis ini digunakan air limbah Sungai Cikijing Rancaekek. Pengambilan air sungai dapat dilihat pada Gambar 7.

Sampel air untuk uji fotokatalisis diambil pada titik 9 (berwarna biru) (Gambar 7) di sepanjang sungai Cikijing Rancaekek. Pertimbangan sampling pada posisi ini karena daerah tersebut dialiri buangan limbah dari



Gambar 7. Pengambilan sampel air Sungai Cikijing Raneaekek [1].

tiga industri tekstil. Waktu pengambilan dilakukan pada pukul 11.00 WIB dengan cuaca yang cerah. Hal ini berdasarkan hasil pengamatan Andarani & Roosmini pada tahun 2009 [12] menyatakan bahwa titik 9 pada pukul 11.00 WIB dengan cuaca yang cerah, air sungai berwarna hitam dan diketahui kadar logam dalam air sungai tinggi bila dibandingkan dengan posisi pengambilan sampel lain pada jam yang sama dan cuaca yang cerah.

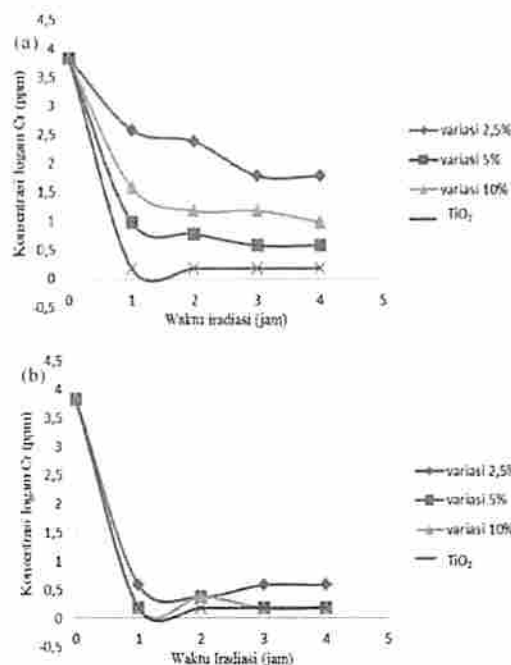
Air limbah sungai yang telah disampling, ditentukan terlebih dahulu kadar logamnya dengan AAS. Logam yang diperiksa dalam air sungai adalah logam Cr, Cu, Zn, Pb, dan Fe, hasilnya dapat dilihat pada Tabel 2. Kadar logam Cr dan Fe dalam air sungai cukup tinggi. Kadar logam Cr dalam air melebihi ambang batas yang dipersyaratkan. Kadar Cr ini adalah kadar logam Cr total, yang mana gabungan dari kadar ion Cr (VI) dan Cr (III). Sedangkan kadar logam lainnya lebih kecil dari ambang batas yang dipersyaratkan. Jadi, diuji aktivitas fotokatalisis TiO_2-SiO_2 diutamakan untuk logam Cr. Akan tetapi uji fotokatalisis TiO_2-SiO_2 dilakukan juga terhadap logam Fe untuk mengetahui pengaruh fotokatalisis terhadap logam lainnya selain Cr.

Table 2. Kadar logam dalam air sungai

Logam	Kadar (ppm)	Ambang Batas Air Sungai (ppm) *
Cr total	3,832	1
Cu	0,091	0,2
Zn	0,262	2
Pb	0	1
Fe	2,039	-

*PP No. 82 tahun 2001

Uji aktivitas fotokatalisis TiO_2-SiO_2 dilakukan dengan cara mengiradiasi air sungai yang telah ditambahkan sejumlah fotokatalis TiO_2-SiO_2 (sesuai variasi yang dibuat) selama 4 jam dengan lampu merkuri HPL-N 125 W Philips. Setelah proses fotokatalisis selesai, kadar logam dalam air limbah ditentukan dengan AAS. Gambar 8 adalah penurunan kadar logam Cr setelah proses fotokatalisis.

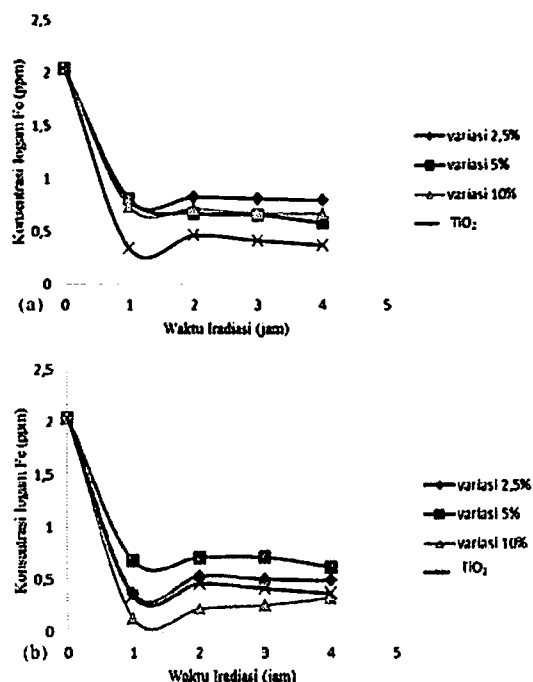


Gambar 8. (a) Grafik penurunan kadar Cr menggunakan TiO_2-SiO_2 (dengan SiO_2 yang disintesis dengan amonia 12,5%) dan (b) Grafik penurunan kadar Cr menggunakan TiO_2-SiO_2 (dengan SiO_2 yang disintesis dengan amonia 25%).

Pada Gambar 8 (a) adalah penurunan kadar Cr oleh TiO_2-SiO_2 (SiO_2 disintesis dengan amonia 12,5%) pada variasi jumlah SiO_2 2,5%, 5% dan 10%. Hasil terbaik, penurunan kadar Cr adalah fotokatalis TiO_2-SiO_2 5% selama 3 jam mencapai 84,86%. Sedangkan pada Gambar 8 (b) adalah penurunan kadar Cr menggunakan TiO_2-SiO_2 (SiO_2 disintesis dengan amonia 25%) pada variasi jumlah SiO_2 2,5%, 5% dan 10%. Hasil yang terbaik dalam menurunkan kadar Cr adalah fotokatalis TiO_2-SiO_2 10% selama iradiasi 1 jam, mencapai 95,30%.

Sebagai pembandingan, pengujian dengan TiO_2 selama iradiasi 1 jam mampu menurunkan kadar Cr sebesar 95,30%. Hasil ini setara dengan TiO_2-SiO_2 10% Tetapi berdasarkan penggunaan TiO_2 , fotokatalis TiO_2 10% dengan SiO_2 yang disintesis menggunakan amonia 25% lebih efektif digunakan.

Hasil uji penurunan kadar Fe oleh fotokatalis TiO_2-SiO_2 dapat dilihat pada Gambar 9. Pada Gambar 9 (a) adalah penurunan kadar Fe menggunakan TiO_2-SiO_2 (SiO_2 yang disintesis dengan amonia 12,5%) oleh proses fotokatalisis pada variasi yang berbeda. Penurunan kadar Fe oleh fotokatalis TiO_2-SiO_2 5% selama 4 jam iradiasi adalah sebesar 71,45%, hasil ini kurang efektif karena kadar Fe yang masih rendah. Sedangkan pada Gambar 9 (b) adalah penurunan kadar Fe menggunakan TiO_2-SiO_2 (dengan SiO_2 yang disintesis dengan amonia 25%) dengan fotokatalis TiO_2-SiO_2 10% selama 1 jam iradiasi menunjukkan hasil terbaik, dimana mampu



Gambar 9. (a). Grafik penurunan kadar Fe menggunakan $\text{TiO}_2\text{-SiO}_2$ (dengan SiO_2 yang disintesis dengan amonia 12,5%) dan (b). Grafik penurunan kadar Fe menggunakan $\text{TiO}_2\text{-SiO}_2$ (dengan SiO_2 yang disintesis dengan amonia 25%).

menurunkan kadar Fe sebesar 93.62 %. Sebagai pembandingan, uji fotokatalis juga dilakukan menggunakan TiO_2 murni (100 %), dimana hanya mampu menurunkan kadar Fe sebesar 83.17%.

Berdasarkan hasil fotokatalisis menggunakan $\text{TiO}_2\text{-SiO}_2$ menunjukkan bahwa penggunaan fotokatalis ini lebih efektif dibandingkan dengan TiO_2 100%. Dapat disimpulkan juga bahwa penambahan SiO_2 sebagai pendukung fotokatalis TiO_2 dapat meningkatkan aktivitas fotokatalisisnya. Selain itu, SiO_2 adalah penyangga yang berpori bersifat adsorben sehingga penurunan kadar logam lebih efektif. Penurunan kadar logam oleh fotokatalis $\text{TiO}_2\text{-SiO}_2$ tidak hanya melalui proses fotokatalisis saja akan tetapi merupakan gabungan proses adsorpsi dan fotokatalisis.

Efisiensi penurunan kadar Cr dan Fe terbesar terjadi pada fotokatalis $\text{TiO}_2\text{-SiO}_2$ 10% dengan silika yang disintesis menggunakan amonia 25%. Proses iradiasi yang dilakukan selama 1 jam dengan menurunkan kadar Cr hingga 95.30% dan menurunkan kadar Fe hingga 93.62%.

KESIMPULAN

Penambahan konsentrasi amonia 25% dapat membentuk gel lebih cepat dibandingkan dengan konsentrasi amonia 12.5%. Suhu kalsinasi 400 °C, 500 °C, dan 600°C menghasilkan silika yang bersifat

amorf. Berdasarkan hasil analisis XRD dan SEM-EDX menunjukkan bahwa TiO_2 dapat terimobilisasi pada SiO_2 . Uji aktivitas fotokatalisis $\text{TiO}_2\text{-SiO}_2$ 10% b/b (SiO_2 amonia 25%) menunjukkan efisiensi penurunan kadar logam yang optimum yaitu sebesar 95.30% untuk logam kromium dan 93.62% untuk logam besi.

UCAPAN TERIMAKASIH

Peneliti mengucapkan terimakasih kepada Direktorat Jendral Pendidikan Tinggi (DIKTI) untuk Hibah Penelitian Pekan Kreativitas Mahasiswa (PKM) tahun anggaran 2014-2015.

DAFTAR ACUAN

- [1]. A. Popa, E.C. Abenojar, A. Vianna, *et al.* "Fabrication of Metal Na-nanoparticle-Modified Screen Printed Carbon Electrodes for the Evaluation of Hydrogen Peroxide Content in Teeth Whitening Strips". *Journal of Chemical Education*, vol. 92, no. 11, pp. 1913-1917, 2015.
- [2]. D. M. de los Santos, A. Montes, A. Sánchez-Coronilla, *et al.* "Sol-Gel Application for Consolidating Stone: An Example of Project-Based Learning in a Physical Chemistry Lab". *Journal of Chemical Education*, vol. 91, no. 9, pp. 1481-1485, 2014.
- [3]. V. Boffa, Y. Yue and W. He. "Sol-Gel Synthesis of a Biotem-plated Inorganic Photocatalyst: A Simple Experiment for Introducing Undergraduate Students to Materials Chemistry". *Journal of Chemical Education*, vol. 89, no. 11, pp. 1466-1469, 2012.
- [4]. B.R. Fernandez, Novesar dan A. Syukri. *Makalah Sintesis Nanopartikel*. Program Studi Kimia Pasca Sarjana, Universitas Andalas, Padang, 2011.
- [5]. S. Cai, Y. Zhang, H. Zhang, *et al.* "Sol-Gel Preparation of Hydrophobic Silica Antireflective Coatings with Low Refractive Index by Base/Acid Two-Step Catalysis". *ACS Applied Material Interfaces*, vol. 6, no. 14, pp. 11470-11475, 2014.
- [6]. M. Jafarzadeh, I. A. Rahman and C.S. Sipaut. "Synthesis of silica nanoparticles by modified sol-gel process: the effect of mixing modes of the reactants and drying techniques". *Journal of Sol-Gel Science Technology*, vol. 50, pp. 328-336, 2009.
- [7]. M. F. Zawrah, A.A. El-Kheshen and H. M. Abd-El-Aali. "Facile and economic synthesis of silica nanoparticles". *Journal of Ovonic Research*, vol. 5, no. 5, pp. 129-133, 2009.
- [8]. I. A. M. Ibrahim, A. A. F. Zikry and M. A. Sharaf. "Preparation of spherical silica nanoparticles: strober silica". *Journal of American Science*, vol. 6, no. 11, pp. 985-989, 2010.
- [9]. F.N. Puri. "Sintesis Silika Berbasis Pasir Kuarsa Sebagai Pendukung Fotokatalis TiO_2 Terhadap

Sintesis Silika Metode Sol-Gel Sebagai Penyangga Fotokatalis TiO₂ Terhadap Penurunan Kadar Kromium dan Besi (Diana Rakhmawaty Eddy)

- Penurunan Kadar Kromium (VI)". FMIPA Unpad, Sumedang, 2014.
- [10]. Ferdinand, L. "Fotokatalisis Menggunakan TiO₂-zeolit untuk menurunkan konsentrasi Fe pada sampel Air Sungai Cikijing Rancaekek". FMIPA-UNPAD, Sumedang, 2014.
- [11]. A.Y. Leinekugel-Le-Cocq-Errien, P. Deniard, S. Jobic, *et al.* "Structural characterization of the hollandite host lattice for the confinement of radioactive cesium: Quantification of the amorphous phase taking into account the incommensurate modulated character of the crystallized part". *Journal of Solid State Chemistry*, vol. 180, no.1, pp. 322-330, 2007.
- [12]. P. Andarani, dan D. Roosmini. "Profil pencemaran logam berat (Cu, Cr, dan Zn) pada air permukaan dan sedimen di sekitar industri tekstil PT-X (sungai Cikijing). ITB, Bandung, 2009.